

# Arbres Markov-branchants avec immigration



Camille Pagnard  
Université Paris Dauphine  
Encadré par Bénédicte Haas

21 avril 2016  
Colloque JPS

- 1) Arbres Markov-branchants
  - ...finis
  - ...infinis
- 2) Grands arbres Markov-branchants
- 3) Arbres de GW conditionnés

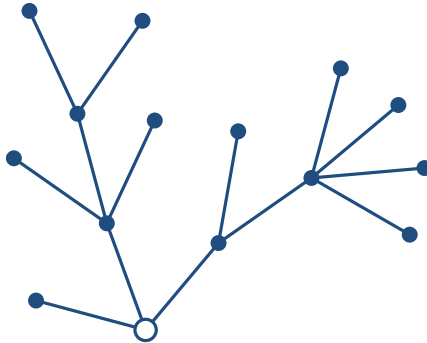


FIGURE – Arbre enraciné, non-étiqueté et non-ordonné

Étudier les familles  $(\mathbf{P}_n)_n$  telles que :

- Si  $T$  suit  $\mathbf{P}_n$ , alors  $T$  a  $n$  nœuds,
- Conditionnellement à :
  - + La racine de  $T$  donne naissance à  $p$  sous-arbres  $T_1, \dots, T_p$ ,
  - +  $T_i$  a  $n_i$  nœuds,

Alors les  $T_i$  sont indépendants et de loi  $\mathbf{P}_{n_i}$ .

Étudier les familles  $(\mathbf{P}_n)_n$  telles que :

- Si  $T$  suit  $\mathbf{P}_n$ , alors  $T$  a  $n$  nœuds,
- Conditionnellement à :
  - + La racine de  $T$  donne naissance à  $p$  sous-arbres  $T_1, \dots, T_p$ ,
  - +  $T_i$  a  $n_i$  nœuds,

Alors les  $T_i$  sont indépendants et de loi  $\mathbf{P}_{n_i}$ .

C'est la propriété de Markov-branchante.

Étudier les familles  $(\mathbf{P}_n)_n$  telles que :

- Si  $T$  suit  $\mathbf{P}_n$ , alors  $T$  a  $n$  nœuds,
- Conditionnellement à :
  - + La racine de  $T$  donne naissance à  $p$  sous-arbres  $T_1, \dots, T_p$ ,
  - +  $T_i$  a  $n_i$  nœuds,

Alors les  $T_i$  sont indépendants et de loi  $\mathbf{P}_{n_i}$ .

C'est la propriété de Markov-branchante.

$(\mathbf{P}_n)_n$  est caractérisée par la manière de répartir la masse à la racine.

# Construction

On note  $\mathcal{P}_n$  l'ensemble des *partitions* de  $n$  :

## Construction

On note  $\mathcal{P}_n$  l'ensemble des *partitions* de  $n$  :  $\lambda = (\lambda_1, \dots, \lambda_p)$  décroissantes de somme  $n$ .



## Construction

On note  $\mathcal{P}_n$  l'ensemble des *partitions* de  $n$  :  $\lambda = (\lambda_1, \dots, \lambda_p)$  décroissantes de somme  $n$ .

Pour tout  $n$ , soit  $q_n$  une loi sur  $\mathcal{P}_{n-1}$ . On peut construire une suite  $(\text{MB}_n^q)_n$  de lois Markov-branchantes associée à  $q$ .

## Construction

On note  $\mathcal{P}_n$  l'ensemble des *partitions* de  $n$  :  $\lambda = (\lambda_1, \dots, \lambda_p)$  décroissantes de somme  $n$ .

Pour tout  $n$ , soit  $q_n$  une loi sur  $\mathcal{P}_{n-1}$ . On peut construire une suite  $(\text{MB}_n^q)_n$  de lois Markov-branchantes associée à  $q$ .

Pour  $n = 1$ , arbre trivial : {racine}.

## Construction

On note  $\mathcal{P}_n$  l'ensemble des *partitions* de  $n$  :  $\lambda = (\lambda_1, \dots, \lambda_p)$  décroissantes de somme  $n$ .

Pour tout  $n$ , soit  $q_n$  une loi sur  $\mathcal{P}_{n-1}$ . On peut construire une suite  $(\text{MB}_n^q)_n$  de lois Markov-branchantes associée à  $q$ .

Pour  $n = 1$ , arbre trivial : {racine}. Pour  $n$  plus grand, on procède récursivement :

- On se donne  $\Lambda$  de loi  $q_n$ ,

## Construction

On note  $\mathcal{P}_n$  l'ensemble des *partitions* de  $n$  :  $\lambda = (\lambda_1, \dots, \lambda_p)$  décroissantes de somme  $n$ .

Pour tout  $n$ , soit  $q_n$  une loi sur  $\mathcal{P}_{n-1}$ . On peut construire une suite  $(\text{MB}_n^q)_n$  de lois Markov-branchantes associée à  $q$ .

Pour  $n = 1$ , arbre trivial : {racine}. Pour  $n$  plus grand, on procède récursivement :

- On se donne  $\Lambda$  de loi  $q_n$ ,
- Conditionnellement à  $\Lambda = (\lambda_1, \dots, \lambda_p)$ , soient  $T_1, \dots, T_p$  des arbres indépendants de lois respectives  $\text{MB}_{\lambda_1}^q, \dots, \text{MB}_{\lambda_p}^q$ ,

## Construction

On note  $\mathcal{P}_n$  l'ensemble des *partitions* de  $n$  :  $\lambda = (\lambda_1, \dots, \lambda_p)$  décroissantes de somme  $n$ .

Pour tout  $n$ , soit  $q_n$  une loi sur  $\mathcal{P}_{n-1}$ . On peut construire une suite  $(\text{MB}_n^q)_n$  de lois Markov-branchantes associée à  $q$ .

Pour  $n = 1$ , arbre trivial : {racine}. Pour  $n$  plus grand, on procède récursivement :

- On se donne  $\Lambda$  de loi  $q_n$ ,
- Conditionnellement à  $\Lambda = (\lambda_1, \dots, \lambda_p)$ , soient  $T_1, \dots, T_p$  des arbres indépendants de lois respectives  $\text{MB}_{\lambda_1}^q, \dots, \text{MB}_{\lambda_p}^q$ ,
- On note  $T$  la concaténation de  $T_1, \dots, T_p$  et  $\text{MB}_n^q$  sa loi.



FIGURE – Construction d'un arbre à  $n$  nœuds

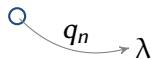


FIGURE – Construction d'un arbre à  $n$  nœuds

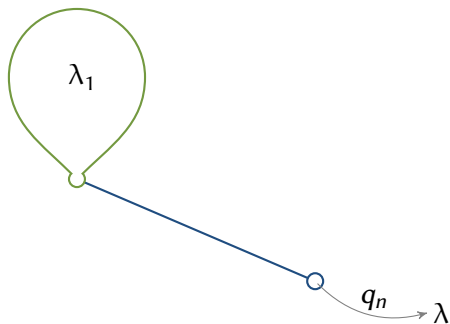


FIGURE – Construction d'un arbre à  $n$  nœuds



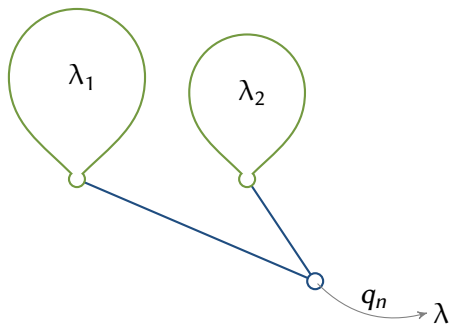


FIGURE – Construction d'un arbre à  $n$  nœuds

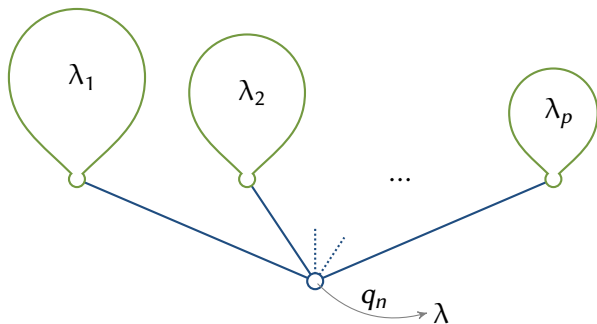


FIGURE – Construction d'un arbre à  $n$  nœuds

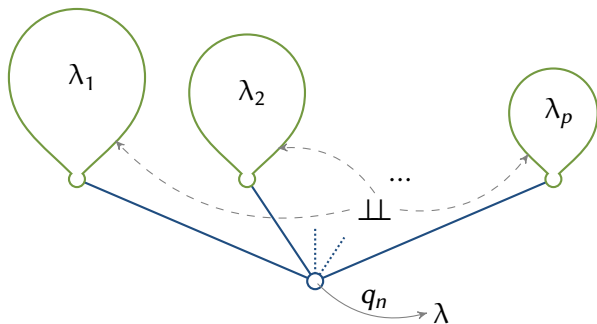


FIGURE – Construction d'un arbre à  $n$  nœuds

## Arbre infini

On note  $\mathcal{P}_\infty$  l'ensemble des partitions (de longueur finie) de l'infini.

Soit  $q_\infty$  une probabilité sur  $\mathcal{P}_\infty$  telle qu'une partition  $\Lambda$  de loi  $q_\infty$  n'a qu'un bloc infini.

## Arbre infini

On note  $\mathcal{P}_\infty$  l'ensemble des partitions (de longueur finie) de l'infini.

Soit  $q_\infty$  une probabilité sur  $\mathcal{P}_\infty$  telle qu'une partition  $\Lambda$  de loi  $q_\infty$  n'a qu'un bloc infini. On note  $q_*$  la loi de  $(\Lambda_2, \dots, \Lambda_p)$ .

## Arbre infini

On note  $\mathcal{P}_\infty$  l'ensemble des partitions (de longueur finie) de l'infini.

Soit  $q_\infty$  une probabilité sur  $\mathcal{P}_\infty$  telle qu'une partition  $\Lambda$  de loi  $q_\infty$  n'a qu'un bloc infini. On note  $q_*$  la loi de  $(\Lambda_2, \dots, \Lambda_p)$ .

On peut construire un arbre Markov-branchant infini associé à  $q_n$ ,  $n \geq 1$  et  $q_\infty$ .

## Arbre infini

On note  $\mathcal{P}_\infty$  l'ensemble des partitions (de longueur finie) de l'infini.

Soit  $q_\infty$  une probabilité sur  $\mathcal{P}_\infty$  telle qu'une partition  $\Lambda$  de loi  $q_\infty$  n'a qu'un bloc infini. On note  $q_*$  la loi de  $(\Lambda_2, \dots, \Lambda_p)$ .

On peut construire un arbre Markov-branchant infini associé à  $q_n, n \geq 1$  et  $q_\infty$ . Soit  $(\Lambda_n, T_n)_{n \geq 0}$  une suite i.i.d. telle que :

## Arbre infini

On note  $\mathcal{P}_\infty$  l'ensemble des partitions (de longueur finie) de l'infini.

Soit  $q_\infty$  une probabilité sur  $\mathcal{P}_\infty$  telle qu'une partition  $\Lambda$  de loi  $q_\infty$  n'a qu'un bloc infini. On note  $q_*$  la loi de  $(\Lambda_2, \dots, \Lambda_p)$ .

On peut construire un arbre Markov-branchant infini associé à  $q_n, n \geq 1$  et  $q_\infty$ . Soit  $(\Lambda_n, T_n)_{n \geq 0}$  une suite i.i.d. telle que :

- $\Lambda_n$  suit  $q_*$



## Arbre infini

On note  $\mathcal{P}_\infty$  l'ensemble des partitions (de longueur finie) de l'infini.

Soit  $q_\infty$  une probabilité sur  $\mathcal{P}_\infty$  telle qu'une partition  $\Lambda$  de loi  $q_\infty$  n'a qu'un bloc infini. On note  $q_*$  la loi de  $(\Lambda_2, \dots, \Lambda_p)$ .

On peut construire un arbre Markov-branchant infini associé à  $q_n, n \geq 1$  et  $q_\infty$ . Soit  $(\Lambda_n, T_n)_{n \geq 0}$  une suite i.i.d. telle que :

–  $\Lambda_n$  suit  $q_*$  – si  $\Lambda_n = (\lambda_1, \dots, \lambda_p)$ ,  $T_n$  est la concaténation de  $T_n^{(1)}, \dots, T_n^{(p)}$  indépendants où  $T_n^{(i)}$  suit  $\text{MB}_{\lambda_i}^q$ .

## Arbre infini

On note  $\mathcal{P}_\infty$  l'ensemble des partitions (de longueur finie) de l'infini.

Soit  $q_\infty$  une probabilité sur  $\mathcal{P}_\infty$  telle qu'une partition  $\Lambda$  de loi  $q_\infty$  n'a qu'un bloc infini. On note  $q_*$  la loi de  $(\Lambda_2, \dots, \Lambda_p)$ .

On peut construire un arbre Markov-branchant infini associé à  $q_n, n \geq 1$  et  $q_\infty$ . Soit  $(\Lambda_n, T_n)_{n \geq 0}$  une suite i.i.d. telle que :

–  $\Lambda_n$  suit  $q_*$  – si  $\Lambda_n = (\lambda_1, \dots, \lambda_p)$ ,  $T_n$  est la concaténation de  $T_n^{(1)}, \dots, T_n^{(p)}$  indépendants où  $T_n^{(i)}$  suit  $\text{MB}_{\lambda_i}^q$ .

On attache alors chaque  $T_n$  à hauteur  $n$  sur une branche infinie.

## Arbre infini

On note  $\mathcal{P}_\infty$  l'ensemble des partitions (de longueur finie) de l'infini.

Soit  $q_\infty$  une probabilité sur  $\mathcal{P}_\infty$  telle qu'une partition  $\Lambda$  de loi  $q_\infty$  n'a qu'un bloc infini. On note  $q_*$  la loi de  $(\Lambda_2, \dots, \Lambda_p)$ .

On peut construire un arbre Markov-branchant infini associé à  $q_n, n \geq 1$  et  $q_\infty$ . Soit  $(\Lambda_n, T_n)_{n \geq 0}$  une suite i.i.d. telle que :

–  $\Lambda_n$  suit  $q_*$  – si  $\Lambda_n = (\lambda_1, \dots, \lambda_p)$ ,  $T_n$  est la concaténation de  $T_n^{(1)}, \dots, T_n^{(p)}$  indépendants où  $T_n^{(i)}$  suit  $\text{MB}_{\lambda_i}^q$ .

On attache alors chaque  $T_n$  à hauteur  $n$  sur une branche infinie.

La loi  $q_*$  peut être vue comme une mesure d'immigration.

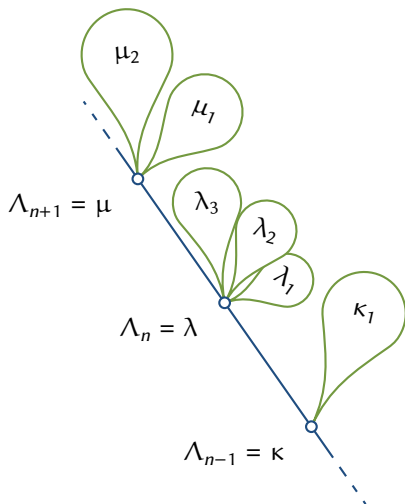


FIGURE – Arbre Markov-branchant avec immigration

- 1) Arbres Markov-branchants
- 2) Grands arbres Markov-branchants  
Limites d'échelle  
Limite locale
- 3) Arbres de GW conditionnés

## Limites d'échelle

On note  $\iota : \mathcal{P}_{<\infty} \rightarrow \ell_1^{\downarrow}$   $\iota(\lambda) = (\lambda_1/n, \dots, \lambda_p/n, 0, 0, \dots)$  pour  $\lambda \in \mathcal{P}_n$

## Limites d'échelle

On note  $\iota : \mathcal{P}_{<\infty} \rightarrow \ell_1^{\downarrow}$   $\iota(\lambda) = (\lambda_1/n, \dots, \lambda_p/n, 0, 0, \dots)$  pour  $\lambda \in \mathcal{P}_n$  et on pose  $\bar{q}_n := q_n \circ \iota^{-1}$ .

## Limites d'échelle

On note  $\iota : \mathcal{P}_{<\infty} \rightarrow \ell_1^\downarrow$   $\iota(\lambda) = (\lambda_1/n, \dots, \lambda_p/n, 0, 0, \dots)$  pour  $\lambda \in \mathcal{P}_n$  et on pose  $\bar{q}_n := q_n \circ \iota^{-1}$ .

Une mesure de dislocation est une mesure  $\sigma$ -finie  $\nu$  sur  $\ell_1^\downarrow$  telle que  $\nu(\|\mathbf{s}\| \neq 1) = 0$  et qui intègre  $\mathbf{s} \mapsto 1 - s_1$ .



## Limites d'échelle

On note  $\iota : \mathcal{P}_{<\infty} \rightarrow \ell_1^\downarrow$   $\iota(\lambda) = (\lambda_1/n, \dots, \lambda_p/n, 0, 0, \dots)$  pour  $\lambda \in \mathcal{P}_n$  et on pose  $\bar{q}_n := q_n \circ \iota^{-1}$ .

Une mesure de dislocation est une mesure  $\sigma$ -finie  $\nu$  sur  $\ell_1^\downarrow$  telle que  $\nu(\|\mathbf{s}\| \neq 1) = 0$  et qui intègre  $\mathbf{s} \mapsto 1 - s_1$ .

### Théorème (Haas-Miermont, 2012)

*S'il existe  $\gamma \in ]0, 1[$  et une mesure de dislocation  $\nu$  tels que :*

$$n^\gamma (1 - s_1) \bar{q}_n(d\mathbf{s}) \Rightarrow (1 - s_1)\nu(d\mathbf{s})$$

*Alors :*

$$\frac{1}{n^\gamma} T_n \xrightarrow[n \rightarrow \infty]{\mathcal{L}} \mathcal{T}_{\gamma, \nu}$$

## Topologie de la limite locale

Pour tout arbre  $\tau$  et  $R \geq 0$  on note  $\tau|_R$  ses  $R$  premières générations.

## Topologie de la limite locale

Pour tout arbre  $\mathfrak{t}$  et  $R \geq 0$  on note  $\mathfrak{t}|_R$  ses  $R$  1<sup>ères</sup> générations.

Pour deux arbres  $\mathfrak{t}$  et  $\mathfrak{t}'$  on définit :

$$d_{\text{loc}}(\mathfrak{t}, \mathfrak{t}') := \exp\left(-\inf\{R \geq 0 : \mathfrak{t}|_R \neq \mathfrak{t}'|_R\}\right)$$

## Topologie de la limite locale

Pour tout arbre  $\mathfrak{t}$  et  $R \geq 0$  on note  $\mathfrak{t}|_R$  ses  $R$  premières générations.

Pour deux arbres  $\mathfrak{t}$  et  $\mathfrak{t}'$  on définit :

$$d_{\text{loc}}(\mathfrak{t}, \mathfrak{t}') := \exp\left(-\inf\{R \geq 0 : \mathfrak{t}|_R \neq \mathfrak{t}'|_R\}\right)$$

Si  $\tau_n$ ,  $n \geq 1$  et  $\tau$  sont des arbres aléatoires alors  $\tau_n$  converge en loi vers  $\tau$  s.s.i. :

$$\forall \mathfrak{t}, \forall R \geq 0, \quad \mathbb{P}[\tau_n|_R = \mathfrak{t}|_R] \xrightarrow{n \rightarrow \infty} \mathbb{P}[\tau|_R = \mathfrak{t}|_R]$$

## Limites locales

Pour tout  $n \in \mathbb{N}^* \cup \{\infty\}$ , notons  $\Lambda_n$  de loi  $q_n$ .

### Théorème (P.)

*Si pour toute partition finie  $\lambda$  on a :*

$$\mathbb{P}[(\Lambda_n(2), \dots, \Lambda_n(p)) = \lambda] \xrightarrow[n \rightarrow \infty]{} q_*(\lambda)$$

*Alors :*

$$T_n \xrightarrow[n \rightarrow \infty]{\mathcal{L}} \text{MB}_\infty^q$$

## Idée de la preuve

Montrer que pour tout  $R \geq 0$  et  $t$  :

$$\mathbb{P}[T_n|_R = t|_R] \xrightarrow{n \rightarrow \infty} \mathbb{P}[T_\infty|_R = t|_R]$$

## Idée de la preuve

Montrer que pour tout  $R \geq 0$  et  $\mathfrak{t}$  :

$$\mathbb{P}[T_n|_R = \mathfrak{t}|_R] \xrightarrow{n \rightarrow \infty} \mathbb{P}[T_\infty|_R = \mathfrak{t}|_R]$$

Par récurrence sur  $R$ . Pour  $\mathfrak{t}$  fixé, on peut écrire  $\mathfrak{t}|_{R+1}$  comme la concaténation de ses sous-arbres  $\mathfrak{t}_1, \dots, \mathfrak{t}_d$ . La propriété de Markov-branchante donne :

$$\begin{aligned} & \mathbb{P}[T_n|_{R+1} = \mathfrak{t}|_{R+1}] \\ &= \sum_{\sigma \in \{\text{ordres}\}} \sum_{\lambda: p(\lambda)=d} q_n(\lambda) \prod_{i=1}^p \mathbb{P}[T_{\lambda_i}|_R = \mathfrak{t}_{\sigma_i}] \end{aligned}$$

## Idée de la preuve

Montrer que pour tout  $R \geq 0$  et  $\mathfrak{t}$  :

$$\mathbb{P}[T_n | R = \mathfrak{t} | R] \xrightarrow{n \rightarrow \infty} \mathbb{P}[T_\infty | R = \mathfrak{t} | R]$$

Par récurrence sur  $R$ . Pour  $\mathfrak{t}$  fixé, on peut écrire  $\mathfrak{t} |_{R+1}$  comme la concaténation de ses sous-arbres  $\mathfrak{t}_1, \dots, \mathfrak{t}_d$ . La propriété de Markov-branchante donne :

$$\begin{aligned} & \mathbb{P}[T_n |_{R+1} = \mathfrak{t} |_{R+1}] \\ &= \sum_{\sigma \in \{\text{ordres}\}} \sum_{\lambda: p(\lambda)=d} q_n(\lambda) \prod_{i=1}^p \mathbb{P}[T_{\lambda_i} | R = \mathfrak{t}_{\sigma_i}] \\ & \xrightarrow{n \rightarrow \infty} \mathbb{P}[T_\infty |_{R+1} = \mathfrak{t} |_{R+1}] \end{aligned}$$



- 1) Arbres Markov-branchants
- 2) Grands arbres Markov-branchants
- 3) Arbres de GW conditionnés  
Limite locale  
Volume growth

## Arbres de Galton-Watson

Soit  $(X_{n,i})_{n \geq 0, i \geq 1}$  une famille i.i.d. de  
v.a. de loi  $\xi$  sur  $\mathbb{N}$ .

On définit  $Z_0 = 1$  et pour  $n \geq 0$  :

$$Z_{n+1} := \sum_{i=1}^{Z_n} X_{n,i}$$

On notera  $\text{GW}_\xi$  la loi de l'arbre  
codant ce processus.

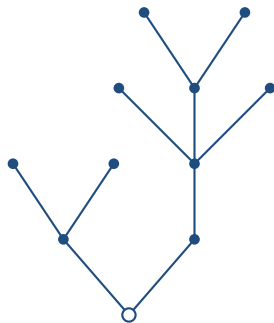


FIGURE – Arbre de GW

# Arbres de Galton-Watson

Soit  $(X_{n,i})_{n \geq 0, i \geq 1}$  une famille i.i.d. de  
v.a. de loi  $\xi$  sur  $\mathbb{N}$ .

On définit  $Z_0 = 1$  et pour  $n \geq 0$  :

$$Z_{n+1} := \sum_{i=1}^{Z_n} X_{n,i}$$

On notera  $\text{GW}_\xi$  la loi de l'arbre  
codant ce processus.

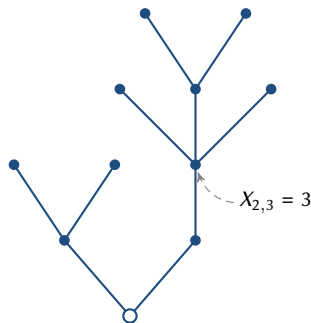


FIGURE – Arbre de GW

# Arbres de Galton-Watson

Soit  $(X_{n,i})_{n \geq 0, i \geq 1}$  une famille i.i.d. de  
v.a. de loi  $\xi$  sur  $\mathbb{N}$ .

On définit  $Z_0 = 1$  et pour  $n \geq 0$  :

$$Z_{n+1} := \sum_{i=1}^{Z_n} X_{n,i}$$

On notera  $\text{GW}_\xi$  la loi de l'arbre  
codant ce processus.

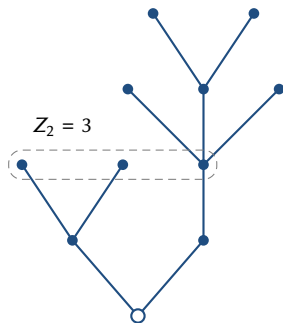


FIGURE – Arbre de GW

## Arbres de GW conditionnés

Supposons que  $\xi$  soit non-dégénérée et de moyenne 1.

Soit  $T$  un arbre de loi  $\text{GW}_\xi$ . Pour tout  $n$ , notons  $T_n$  l'arbre  $T$  conditionné à avoir  $n$  nœuds.

## Arbres de GW conditionnés

Supposons que  $\xi$  soit non-dégénérée et de moyenne 1.

Soit  $T$  un arbre de loi  $\text{GW}_\xi$ . Pour tout  $n$ , notons  $T_n$  l'arbre  $T$  conditionné à avoir  $n$  nœuds.

Cette suite est Markov-branchante et la suite  $(q_n)_n$  associée est :

$$\forall \lambda = (\lambda_1, \dots, \lambda_p) \in \mathcal{P}_{n-1},$$

$$q_n(\lambda) = \# \text{arrangements } (\lambda_1, \dots, \lambda_p) \xi(p) \frac{\prod_{i=1}^p \mathbb{P}[\#T = \lambda_i]}{\mathbb{P}[\#T = n]}$$

## Limite locale

Posons  $\hat{\xi}(k) := k\xi(k)$ , i.e. la mesure  $\xi$  biaisée par la taille.

Pour  $\lambda = (\lambda_1, \dots, \lambda_p)$  fixé et  $L = \|\lambda\| + 1$ , on a :

$$\begin{aligned} q_n(n-L, \lambda) \\ = \# \text{arr.}(\lambda_1, \dots, \lambda_p) \hat{\xi}(p+1) \prod_{i=1}^p \mathbb{P}[\#T = \lambda_i] \frac{\mathbb{P}[\#T = n-L]}{\mathbb{P}[\#T = n]} \end{aligned}$$

## Limite locale

Posons  $\hat{\xi}(k) := k\xi(k)$ , i.e. la mesure  $\xi$  biaisée par la taille.

Pour  $\lambda = (\lambda_1, \dots, \lambda_p)$  fixé et  $L = \|\lambda\| + 1$ , on a :

$$q_n(n-L, \lambda) = \# \text{arr.}(\lambda_1, \dots, \lambda_p) \hat{\xi}(p+1) \prod_{i=1}^p \mathbb{P}[\#T = \lambda_i] \frac{\overbrace{\mathbb{P}[\#T = n-L]}^{\uparrow \quad n \rightarrow \infty}}{\mathbb{P}[\#T = n]}$$



## Limite locale

Posons  $\hat{\xi}(k) := k\xi(k)$ , i.e. la mesure  $\xi$  biaisée par la taille.

Pour  $\lambda = (\lambda_1, \dots, \lambda_p)$  fixé et  $L = \|\lambda\| + 1$ , on a :

$$\begin{aligned}
 & q_n(n-L, \lambda) \\
 &= \# \text{arr.}(\lambda_1, \dots, \lambda_p) \hat{\xi}(p+1) \prod_{i=1}^p \mathbb{P}[\#T = \lambda_i] \frac{\mathbb{P}[\#T = n-L]}{\mathbb{P}[\#T = n]} \\
 &\xrightarrow{n \rightarrow \infty} \# \text{arr.}(\lambda_1, \dots, \lambda_p) \hat{\xi}(p+1) \prod_{i=1}^p \mathbb{P}[\#T = \lambda_i]
 \end{aligned}$$

## Limite locale

Posons  $\hat{\xi}(k) := k\xi(k)$ , i.e. la mesure  $\xi$  biaisée par la taille.

Pour  $\lambda = (\lambda_1, \dots, \lambda_p)$  fixé et  $L = \|\lambda\| + 1$ , on a :

$$\begin{aligned}
 & q_n(n-L, \lambda) \\
 &= \# \text{arr.}(\lambda_1, \dots, \lambda_p) \hat{\xi}(p+1) \prod_{i=1}^p \mathbb{P}[\#T = \lambda_i] \frac{\mathbb{P}[\#T = n-L]}{\mathbb{P}[\#T = n]} \\
 &\xrightarrow[n \rightarrow \infty]{} q_\infty(\infty, \lambda)
 \end{aligned}$$

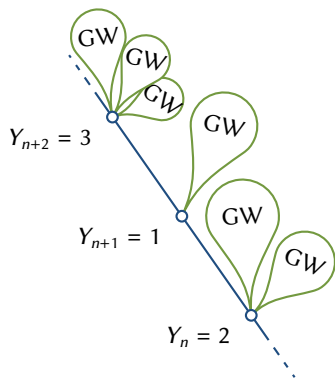
## Limite locale

Posons  $\hat{\xi}(k) := k\xi(k)$ , i.e. la mesure  $\xi$  biaisée par la taille.

Pour  $\lambda = (\lambda_1, \dots, \lambda_p)$  fixé et  $L = \|\lambda\| + 1$ , on a :

$$\begin{aligned}
 & q_n(n-L, \lambda) \\
 &= \# \text{arr.}(\lambda_1, \dots, \lambda_p) \hat{\xi}(p+1) \prod_{i=1}^p \mathbb{P}[\#T = \lambda_i] \frac{\mathbb{P}[\#T = n-L]}{\mathbb{P}[\#T = n]} \\
 &\xrightarrow[n \rightarrow \infty]{} q_\infty(\infty, \lambda)
 \end{aligned}$$

$T_n$  converge donc en loi vers un certain  $T_\infty$  Markov-branchant : l'arbre de Kesten.



Associé au processus :

$$Z_0 := 0, \quad Z_{n+1} := \sum_{i=1}^{Z_n} X_{n,i} + Y_n$$

avec  $(X_{n,i})$  i.i.d. de loi  $\xi$ ,  $(Y_n)$  i.i.d. tels que  $Y_n + 1$  suive  $\hat{\xi}$ .

FIGURE – Arbre de kesten

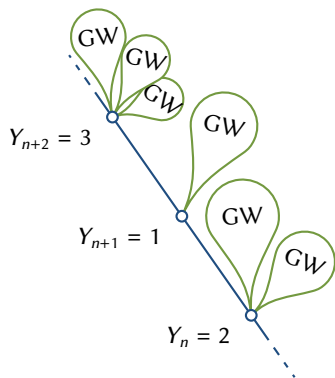


FIGURE – Arbre de kesten

Associé au processus :

$$Z_0 := 0, \quad Z_{n+1} := \sum_{i=1}^{Z_n} X_{n,i} + Y_n$$

avec  $(X_{n,i})$  i.i.d. de loi  $\xi$ ,  $(Y_n)$  i.i.d. tels que  $Y_n + 1$  suive  $\hat{\xi}$ .

Les  $Y_n$  représentent une immigration : à chaque temps  $n$ ,  $Y_n$  nouveaux individus s'intègrent à la population déjà en place.

## Problème

Soit  $T^{(\infty)}$  un arbre de Kesten.

Questions :

- À quelle vitesse la suite  $(\#T^{(\infty)}|_R)_{R \geq 1}$  croît-elle ?
- A-t-on convergence en loi de  $\#T^{(\infty)}|_R / \varphi(R)$  avec  $\varphi$  adéquat ?

## Problème

Soit  $T^{(\infty)}$  un arbre de Kesten.

Questions :

- À quelle vitesse la suite  $(\#T^{(\infty)}|_R)_{R \geq 1}$  croît-elle ?
- A-t-on convergence en loi de  $\#T^{(\infty)}|_R / \varphi(R)$  avec  $\varphi$  adéquat ?

Idée : Étudier l'arbre  $T^{(\infty)}$  à une “bonne” échelle.

## Problème

Soit  $T^{(\infty)}$  un arbre de Kesten.

Questions :

- À quelle vitesse la suite  $(\#T^{(\infty)}|_R)_{R \geq 1}$  croît-elle ?
- A-t-on convergence en loi de  $\#T^{(\infty)}|_R / \varphi(R)$  avec  $\varphi$  adéquat ?

Idée : Étudier l'arbre  $T^{(\infty)}$  à une “bonne” échelle.

D'après Haas-Miermont : hauteur  $\sim$  (masse) $^\gamma$ .



## Problème

Soit  $T^{(\infty)}$  un arbre de Kesten.

Questions :

- À quelle vitesse la suite  $(\#T^{(\infty)}|_R)_{R \geq 1}$  croît-elle ?
- A-t-on convergence en loi de  $\#T^{(\infty)}|_R / \varphi(R)$  avec  $\varphi$  adéquat ?

Idée : Étudier l'arbre  $T^{(\infty)}$  à une “bonne” échelle.

D'après Haas-Miermont : hauteur  $\sim$  (masse) $^\gamma$ . Un bon candidat pour la vitesse est donc  $R^{1/\gamma}$ .

## Limite d'échelle

On suppose maintenant que  $\xi(0) = \xi(2) = 1/2$ .

On a :

$$n^{1/2}(1 - s_1) \bar{q}_n(d\mathbf{s}) \xrightarrow{n \rightarrow \infty} (1 - s_1) \nu_B(d\mathbf{s})$$

où  $\nu_B$  est la mesure de dislocation brownienne :  $\nu_B(s_1 + s_2 < 1) = 0$  et  $\nu_B(s_1 \in dx) = [\pi x^3 (1 - x)^3]^{-1/2} dx$ .

## Limite d'échelle

On suppose maintenant que  $\xi(0) = \xi(2) = 1/2$ .

On a :

$$n^{1/2}(1 - s_1) \bar{q}_n(d\mathbf{s}) \xrightarrow{n \rightarrow \infty} (1 - s_1) \nu_B(d\mathbf{s})$$

où  $\nu_B$  est la mesure de dislocation brownienne :  $\nu_B(s_1 + s_2 < 1) = 0$  et  $\nu_B(s_1 \in dx) = [\pi x^3 (1 - x)^3]^{-1/2} dx$ .

De ce fait :

$$\frac{1}{n^{1/2}} T_n \xrightarrow{n \rightarrow \infty} \mathcal{J}_{1/2, \nu_B}$$

## Limite d'échelle

On suppose maintenant que  $\xi(0) = \xi(2) = 1/2$ .

On a :

$$n^{1/2}(1 - s_1) \bar{q}_n(d\mathbf{s}) \xrightarrow{n \rightarrow \infty} (1 - s_1) \nu_B(d\mathbf{s})$$

où  $\nu_B$  est la mesure de dislocation brownienne :  $\nu_B(s_1 + s_2 < 1) = 0$  et  $\nu_B(s_1 \in dx) = [\pi x^3 (1 - x)^3]^{-1/2} dx$ .

De ce fait :

$$\frac{1}{n^{1/2}} T_n \xrightarrow{n \rightarrow \infty} \mathcal{T}_B$$

où  $\mathcal{T}_B$  est l'arbre brownien.

## Arbre brownien avec immigration

Soit  $I_B$  la mesure d'immigration brownienne, i.e. la mesure sur  $\mathbb{R}_+$  donnée par  $I_B(ds) = (\pi s^3/2)^{-1/2} ds$ .

## Arbre brownien avec immigration

Soit  $I_B$  la mesure d'immigration brownienne, i.e. la mesure sur  $\mathbb{R}_+$  donnée par  $I_B(ds) = (\pi s^3/2)^{-1/2} ds$ .

Soit  $\Sigma$  un PPP sur  $\mathbb{R}_+ \times \mathbb{R}_+$  d'intensité  $du \otimes I_B(ds)$  et notons  $\{(u_i, s_i); i \geq 1\}$  ses atomes.

## Arbre brownien avec immigration

Soit  $I_B$  la mesure d'immigration brownienne, i.e. la mesure sur  $\mathbb{R}_+$  donnée par  $I_B(ds) = (\pi s^3/2)^{-1/2} ds$ .

Soit  $\Sigma$  un PPP sur  $\mathbb{R}_+ \times \mathbb{R}_+$  d'intensité  $du \otimes I_B(ds)$  et notons  $\{(u_i, s_i); i \geq 1\}$  ses atomes.

Soit  $(\mathcal{T}_i)_{i \geq 1}$  une famille i.i.d. et indépendante de  $\Sigma$  d'arbres browniens.

## Arbre brownien avec immigration

Soit  $I_B$  la mesure d'immigration brownienne, i.e. la mesure sur  $\mathbb{R}_+$  donnée par  $I_B(ds) = (\pi s^3/2)^{-1/2} ds$ .

Soit  $\Sigma$  un PPP sur  $\mathbb{R}_+ \times \mathbb{R}_+$  d'intensité  $du \otimes I_B(ds)$  et notons  $\{(u_i, s_i); i \geq 1\}$  ses atomes.

Soit  $(\mathcal{T}_i)_{i \geq 1}$  une famille i.i.d. et indépendante de  $\Sigma$  d'arbres browniens. Pour tout  $i$ , on pose  $\mathcal{T}_i^{(s_i)}$  l'arbre  $\mathcal{T}_i$  avec masse  $s_i$ .



## Arbre brownien avec immigration

Soit  $I_B$  la mesure d'immigration brownienne, i.e. la mesure sur  $\mathbb{R}_+$  donnée par  $I_B(ds) = (\pi s^3/2)^{-1/2} ds$ .

Soit  $\Sigma$  un PPP sur  $\mathbb{R}_+ \times \mathbb{R}_+$  d'intensité  $du \otimes I_B(ds)$  et notons  $\{(u_i, s_i); i \geq 1\}$  ses atomes.

Soit  $(\mathcal{T}_i)_{i \geq 1}$  une famille i.i.d. et indépendante de  $\Sigma$  d'arbres browniens. Pour tout  $i$ , on pose  $\mathcal{T}_i^{(s_i)}$  l'arbre  $\mathcal{T}_i$  avec masse  $s_i$ . On définit alors :

$$\Pi := \sum_{i \geq 1} \delta_{(u_i, s_i, \mathcal{T}_i^{(s_i)})}$$

C'est un PPP sur  $\mathbb{R}_+ \times \mathbb{R}_+ \times \mathbb{T}_c$ .

## Arbre brownien avec immigration

Soit  $I_B$  la mesure d'immigration brownienne, i.e. la mesure sur  $\mathbb{R}_+$  donnée par  $I_B(ds) = (\pi s^3/2)^{-1/2} ds$ .

Soit  $\Sigma$  un PPP sur  $\mathbb{R}_+ \times \mathbb{R}_+$  d'intensité  $du \otimes I_B(ds)$  et notons  $\{(u_i, s_i); i \geq 1\}$  ses atomes.

Soit  $(\mathcal{T}_i)_{i \geq 1}$  une famille i.i.d. et indépendante de  $\Sigma$  d'arbres browniens. Pour tout  $i$ , on pose  $\mathcal{T}_i^{(s_i)}$  l'arbre  $\mathcal{T}_i$  avec masse  $s_i$ . On définit alors :

$$\Pi := \sum_{i \geq 1} \delta_{(u_i, s_i, \mathcal{T}_i^{(s_i)})}$$

C'est un PPP sur  $\mathbb{R}_+ \times \mathbb{R}_+ \times \mathbb{T}_c$ .

Il est associé à un arbre de fragmentation avec immigration :  $\mathcal{T}_{B,imm}$ .

## Processus ponctuels sous-jacents

De par sa construction,  $T^{(\infty)}$  est associé à un processus ponctuel sur  $\mathbb{R}_+ \times \mathbb{R}_+ \times \mathbb{T}_c$  :

$$\sum_{n \geq 0} \delta_{(n, \Lambda_n, T_n)}$$

où les  $\Lambda_n$  sont i.i.d. de loi  $q_*$  et  $T_n$  suit  $\text{MB}_{\Lambda_n}^q$ .

## Processus ponctuels sous-jacents

De par sa construction,  $T^{(\infty)}$  est associé à un processus ponctuel sur  $\mathbb{R}_+ \times \mathbb{R}_+ \times \mathbb{T}_c$  :

$$\sum_{n \geq 0} \delta_{(n, \Lambda_n, T_n)}$$

où les  $\Lambda_n$  sont i.i.d. de loi  $q_*$  et  $T_n$  suit  $\text{MB}_{\Lambda_n}^q$ .

Si on passe à l'échelle :

–  $1/R$  pour les distances –  $1/R^2$  pour la masse

## Processus ponctuels sous-jacents

De par sa construction,  $T^{(\infty)}$  est associé à un processus ponctuel sur  $\mathbb{R}_+ \times \mathbb{R}_+ \times \mathbb{T}_c$  :

$$\sum_{n \geq 0} \delta_{(n, \Lambda_n, T_n)}$$

où les  $\Lambda_n$  sont i.i.d. de loi  $q_*$  et  $T_n$  suit  $\text{MB}_{\Lambda_n}^q$ .

Si on passe à l'échelle :

–  $1/R$  pour les distances –  $1/R^2$  pour la masse

l'arbre  $(1/R, 1/R^2) * T^{(\infty)} =: T^{(R)}$  est associé au processus ponctuel :

$$\Pi_R := \sum_{n \geq 0} \delta_{(n/R, \Lambda_n/R^2, (1/R, 1/R^2) * T_n)}$$

## Remise à l'échelle de l'immigration

$\Lambda$  a la même loi que  $\#T$  avec  $T$  de loi  $\text{GW}_\xi$ .

## Remise à l'échelle de l'immigration

$\Lambda$  a la même loi que  $\#T$  avec  $T$  de loi  $\text{GW}_\xi$ . En utilisant la formule d'Otter-Dwass :

$$\mathbb{P}[\Lambda = n] = \mathbb{P}[\#T = n]$$

## Remise à l'échelle de l'immigration

$\Lambda$  a la même loi que  $\#T$  avec  $T$  de loi  $\text{GW}_\xi$ . En utilisant la formule d'Otter-Dwass :

$$\mathbb{P}[\Lambda = n] = \frac{1}{n} \mathbb{P}[S_n - n = -1]$$



## Remise à l'échelle de l'immigration

$\Lambda$  a la même loi que  $\#T$  avec  $T$  de loi  $\text{GW}_\xi$ . En utilisant la formule d'Otter-Dwass :

$$\mathbb{P}[\Lambda = n] = \frac{1}{n} \mathbb{P}[S_n - n = -1] \sim \sqrt{\frac{1}{2\pi n^3}}$$

## Remise à l'échelle de l'immigration

$\Lambda$  a la même loi que  $\#T$  avec  $T$  de loi  $\text{GW}_\xi$ . En utilisant la formule d'Otter-Dwass :

$$\mathbb{P}[\Lambda = n] = \frac{1}{n} \mathbb{P}[S_n - n = -1] \sim \sqrt{\frac{1}{2\pi n^3}}$$

D'où pour toute  $f$  continue avec  $0 \leq f(x) \leq 1 \wedge x$  :

$$R \mathbb{E}\left[f(\Lambda/R^2)\right] \xrightarrow{R \rightarrow \infty} \int_0^\infty \sqrt{\frac{1}{2\pi s^3}} f(s) \, ds$$

## Remise à l'échelle de l'immigration

$\Lambda$  a la même loi que  $\#T$  avec  $T$  de loi  $\text{GW}_\xi$ . En utilisant la formule d'Otter-Dwass :

$$\mathbb{P}[\Lambda = n] = \frac{1}{n} \mathbb{P}[S_n - n = -1] \sim \sqrt{\frac{1}{2\pi n^3}}$$

D'où pour toute  $f$  continue avec  $0 \leq f(x) \leq 1 \wedge x$  :

$$R \mathbb{E} \left[ f(\Lambda/R^2) \right] \xrightarrow{R \rightarrow \infty} \int_0^\infty f(s) l_B(ds)$$

# Volume growth

On déduit alors que :

$$\Pi_R \xrightarrow[R \rightarrow \infty]{\mathcal{L}} \Pi$$

## Volume growth

On déduit alors que :

$$\Pi_R \xrightarrow[R \rightarrow \infty]{\mathcal{L}} \Pi$$

Puis que :

$$(1/R, 1/R^2) * T^{(\infty)} \xrightarrow[R \rightarrow \infty]{\mathcal{L}} \mathcal{T}_{B, \text{imm}}$$

## Volume growth

On déduit alors que :

$$\Pi_R \xrightarrow[R \rightarrow \infty]{\mathcal{L}} \Pi$$

Puis que :

$$(1/R, 1/R^2) * T^{(\infty)} \xrightarrow[R \rightarrow \infty]{\mathcal{L}} \mathcal{T}_{B,imm}$$

Et alors :

$$\frac{\#T^{(\infty)}|_R}{R^2} \xrightarrow[R \rightarrow \infty]{\mathcal{L}} \text{masse}(\mathcal{T}_{B,imm}|_1)$$

## Cas général

Soit  $\Lambda$  de loi  $q_*$ ,  $I$  une mesure d'immigration sur  $\ell_1^\downarrow$ .

## Cas général

Soit  $\Lambda$  de loi  $q_*$ ,  $I$  une mesure d'immigration sur  $\ell_1^\downarrow$ .  
Supposons que  $n^\gamma (1 - s_1) \bar{q}_n(d\mathbf{s}) \Rightarrow (1 - s_1) \nu(d\mathbf{s})$



## Cas général

Soit  $\Lambda$  de loi  $q_*$ ,  $I$  une mesure d'immigration sur  $\ell_1^\downarrow$ .

Supposons que  $n^\gamma (1 - s_1) \bar{q}_n(d\mathbf{s}) \Rightarrow (1 - s_1) \nu(d\mathbf{s})$  et que pour toute fonction continue  $f$ ,  $f(\mathbf{s}) \leq 1 \wedge \|\mathbf{s}\|$  :

$$R \mathbb{E}[f(\Lambda/R^{1/\gamma})] \xrightarrow{R \rightarrow \infty} \int_{\ell_1^\downarrow} f(\mathbf{s}) I(d\mathbf{s})$$

## Cas général

Soit  $\Lambda$  de loi  $q_*$ ,  $I$  une mesure d'immigration sur  $\ell_1^\downarrow$ .

Supposons que  $n^\gamma (1 - s_1) \bar{q}_n(d\mathbf{s}) \Rightarrow (1 - s_1) \nu(d\mathbf{s})$  et que pour toute fonction continue  $f$ ,  $f(\mathbf{s}) \leq 1 \wedge \|\mathbf{s}\|$  :

$$R \mathbb{E}[f(\Lambda/R^{1/\gamma})] \xrightarrow{R \rightarrow \infty} \int_{\ell_1^\downarrow} f(\mathbf{s}) I(d\mathbf{s})$$

alors  $\Pi_R \rightarrow \Pi$  en loi.

## Cas général

Soit  $\Lambda$  de loi  $q_*$ ,  $I$  une mesure d'immigration sur  $\ell_1^\downarrow$ .

Supposons que  $n^\gamma (1 - s_1) \bar{q}_n(d\mathbf{s}) \Rightarrow (1 - s_1) \nu(d\mathbf{s})$  et que pour toute fonction continue  $f$ ,  $f(\mathbf{s}) \leq 1 \wedge \|\mathbf{s}\|$  :

$$R \mathbb{E}[f(\Lambda/R^{1/\gamma})] \xrightarrow{R \rightarrow \infty} \int_{\ell_1^\downarrow} f(\mathbf{s}) I(d\mathbf{s})$$

alors  $\Pi_R \rightarrow \Pi$  en loi.

### Théorème (P.)

Alors :  $(1/R, 1/R^{1/\gamma}) * T \xrightarrow[R \rightarrow \infty]{\mathcal{L}} \mathcal{T}_{\gamma, \nu}^{(I)}$

## Cas général

Soit  $\Lambda$  de loi  $q_*$ ,  $I$  une mesure d'immigration sur  $\ell_1^\downarrow$ .

Supposons que  $n^\gamma (1 - s_1) \bar{q}_n(d\mathbf{s}) \Rightarrow (1 - s_1) \nu(d\mathbf{s})$  et que pour toute fonction continue  $f$ ,  $f(\mathbf{s}) \leq 1 \wedge \|\mathbf{s}\|$  :

$$R \mathbb{E}[f(\Lambda/R^{1/\gamma})] \xrightarrow{R \rightarrow \infty} \int_{\ell_1^\downarrow} f(\mathbf{s}) I(d\mathbf{s})$$

alors  $\Pi_R \rightarrow \Pi$  en loi.

## Théorème (P.)

$$\text{Alors :} \quad (1/R, 1/R^{1/\gamma}) * T \xrightarrow{R \rightarrow \infty} \mathcal{T}_{\gamma, \nu}^{(I)}$$

$$\text{Et :} \quad \frac{\#T|_R}{R^{1/\gamma}} \xrightarrow{R \rightarrow \infty} \text{masse}(\mathcal{T}_{\gamma, \nu}^{(I)} | 1)$$

Merci pour  
votre attention !

- [Bénédicte Haas and Grégory Miermont](#). Scaling limits of Markov branching trees with applications to Galton–Watson and random unordered trees. 2012.
- [Jean Bertoin](#). Self-similar fragmentations. 2002.
- [Romain Abraham, Jean-François Delmas, and Patrick Hoscheit](#). A note on the Gromov-Hausdorff-Prokhorov distance between (locally) compact metric measure spaces. 2013.
- [Bénédicte Haas](#). Equilibrium for fragmentation with immigration. 2005.
- [Romain Abraham and Jean-François Delmas](#). Local limits of conditioned Galton-Watson trees : the infinite spine case. 2014.